

ОБЪЕДИНЕННЫЙ
ИНСТИТУТ
ЯДЕРНЫХ
ИССЛЕДОВАНИЙ

Дубна

96-ЧЧ7

P1-96-447

А.И.Бондаренко, Р.А.Бондаренко, Е.Н.Кладницкая

ИЗУЧЕНИЕ ЯДРО-ЯДЕРНЫХ ВЗАИМОДЕЙСТВИЙ
С ПОЛНЫМ РАЗРУШЕНИЕМ ЯДРА-МИШЕНИ
ПРИ ИМПУЛЬСЕ 4,2 ГэВ/с НА НУКЛОН

Направлено в журнал «Ядерная физика»

1996

1. ВВЕДЕНИЕ

Процесс полного разрушения ядра-мишени (ПРМ) во взаимодействиях адронов и ядер с ядрами давно привлекает к себе внимание как экспериментаторов [1—11], так и теоретиков [12—14]. Интерес к этому классу соударений обусловлен желанием выявить особенности событий с ПРМ по сравнению со всеми неупругими взаимодействиями, понять механизм адрон(ядро)-ядерного взаимодействия, приводящий к полному разрушению ядра-мишени.

Большинство работ по этой тематике посвящено изучению процессов полного разрушения тяжелых ядер фотоэмulsionий Ag и Br при взаимодействии с ними протонов в широком интервале энергий (вплоть до 400 ГэВ) [1,2,4,5] и ядер от дейтрана до серы (до 200 АГэВ) [3,4,6—8].

К числу наиболее интересных результатов этих работ можно отнести независимость доли (W) событий с ПРМ от энергии снаряда в p AgBr-взаимодействиях: $W \approx 3\%$ в интервале первичных энергий 10+400 ГэВ [1,2,5]. Вместе с тем W быстро растет с увеличением атомного номера ядра-снаряда в ядро-AgBr-соударениях, например при энергии 3,7 ГэВ/нуклон W возрастает от 0,5% для p AgBr до 24% для SiAgBr-взаимодействий [2,6—8]. Однако, с увеличением энергии первичного ядра этот рост замедляется: при энергии 13,7 ГэВ/нуклон W для SiAgBr-соударений составляет только 13% [8] и продолжает убывать с ростом энергии снаряда. При 200 ГэВ/нуклон для близкого по массе к Si ядра серы $W = 10 \pm 2\%$ [8].

Настоящая работа посвящена изучению общих характеристик событий с полным разрушением легкого ядра-мишени (^{12}C) под действием протонов, дейтранов, α -частиц и ядер углерода с импульсом 4,2 АГэВ/с, а также систематическому их сравнению с данными для неупругих ядро-ядерных взаимодействий. Подобные работы, число которых очень невелико (см., например, [9—11]), были посвящены изучению процесса полного разрушения легкого ядра-мишени лишь под действием адронов.

2. ЭКСПЕРИМЕНТАЛЬНЫЙ МАТЕРИАЛ

Наборы данных, рассматриваемые в настоящей работе, получены с помощью двухметровой пропановой пузырьковой камеры. Они включают в себя информацию о типах вторичных частиц и их кинематических характеристиках и позволяют провести исследование ядро-ядерных соударений с ПРМ

в том объеме, в котором ранее оно не проводилось. Методические вопросы эксперимента, касающиеся отбора взаимодействий на ядре углерода из всех событий в пропане, а также идентификации частиц и введение геометрических поправок на потери частиц, испущенных под большими углами к плоскости фотографирования, рассмотрены в [15,16].

Напомним лишь, что в пропановой пузырьковой камере протоны надежно идентифицируются по ионизации и пробегу в интервале импульсов 0,15+0,5 ГэВ/с. Протоны с $p_{\text{лаб}} < 0,15$ ГэВ/с имеют пробег менее 2 мм и в большинстве своем не видны на снимке. На все положительные частицы с импульсом выше 0,5 ГэВ/с введены веса, определяющие вероятность того, что данная частица является протоном или π^+ -мезоном. При определении весов использовались характеристики π^- -мезонов [15].

В соответствии со сложившимися представлениями о механизме ядро-ядерного взаимодействия [16] все вторичные протоны были разделены на:

1. испарительные из ядра-мишени — протоны с импульсом $p < 0,3$ ГэВ/с;
2. стриппинговые фрагменты ядра-снаряда — положительные частицы с импульсом более 3 ГэВ/с и углом вылета менее 4° ;
3. протоны-участники — все остальные протоны.

Все отрицательные частицы, кроме идентифицированных электронов, считались π^- -мезонами.

События с ПРМ отбирались из полных ансамблей неупругих p C-, d C-, α C- и CC-взаимодействий по признаку наличия в них 5 и более протонов с импульсом $p < 0,75$ ГэВ/с. Используемый критерий отбора обусловлен тем, что протоны с импульсом менее 0,75 ГэВ/с в основном являются фрагментами ядра-мишени (вероятность того, что протон из снаряда потеряет более 90% своей энергии в легком ядре углерода, мала).

Выбранные нами критерии позволяют выделить такие ядро-ядерные взаимодействия, в которых мишень фрагментирует только на однозарядные фрагменты.

3. ВЕРОЯТНОСТИ СОБЫТИЙ С ПОЛНЫМ РАЗРУШЕНИЕМ ЯДРА-МИШЕНИ. МНОЖЕСТВЕННОСТИ ВТОРИЧНЫХ ЧАСТИЦ

Значения вероятностей W появления событий с ПРМ в изучаемых типах взаимодействий приведены в табл.1.

Видно, что эти вероятности малы, т.е. полное разрушение ядра углерода довольно редкое явление, особенно под действием протонов и дейтранов. С увеличением атомного номера ядра-снаряда значения W возрастают.

Средние множественности вторичных частиц из p C-, d C-, α C- и CC-взаимодействий с полным разрушением ядра-мишени приведены в табл.2. Для сравнения там же представлены аналогичные характеристики для соответствую-

ших неупругих соударений. Величины $\langle v_N \rangle$, приведенные в табл.2, характеризуют среднее число нуклонов из ядра-снаряда, участвующих во взаимодействии с ядром углерода:

$$\langle v_N \rangle = 2(Q_{A_p} - \langle Q_{\text{str}} \rangle),$$

где Q_{A_p} — заряд ядра-снаряда, $\langle Q_{\text{str}} \rangle$ — средний заряд, уносимый стриппинговыми фрагментами.

Из приведенных данных видно, что события с ПРМ характеризуются существенно большей множественностью всех вторичных заряженных частиц, кроме фрагментов мишени с $p < 0,15$ ГэВ/с и фрагментов ядер-снарядов.

Таблица 1. Статистика событий и вероятности полного разрушения мишени

	Взаимодействия			
	pC	dC	α C	CC
$N_{\text{соб}}^{\text{in}}$	5283	6733	4852	7326
$N_{\text{соб}}^{\text{ПРМ}}, n_p \geq 5$	128	189	182	285
$0,15 \leq p_p < 0,75$ ГэВ/с				
$W, \%$	$2,42 \pm 0,21$	$2,81 \pm 0,20$	$3,75 \pm 0,28$	$3,85 \pm 0,23$

Таблица 2. Характеристики распределений по множественности AC-событий с ПРМ (числитель) и всех неупругих (знаменатель)

Характеристика	Взаимодействия			
	pC	dC	α C	CC
$\langle n_{\pm} \rangle$	$7,79 \pm 0,14$ $3,32 \pm 0,02$	$8,67 \pm 0,14$ $4,48 \pm 0,02$	$11,2 \pm 0,2$ $6,61 \pm 0,03$	$15,0 \pm 0,3$ $9,88 \pm 0,03$
$\langle n_{\pi^-} \rangle$	$0,86 \pm 0,07$ $0,38 \pm 0,01$	$1,07 \pm 0,06$ $0,69 \pm 0,01$	$1,80 \pm 0,08$ $1,03 \pm 0,01$	$2,18 \pm 0,09$ $1,39 \pm 0,01$
$\langle n_p^{y^+} \rangle$	$3,25 \pm 0,13$ $1,72 \pm 0,01$	$3,67 \pm 0,12$ $1,97 \pm 0,01$	$5,11 \pm 0,13$ $2,96 \pm 0,02$	$6,75 \pm 0,17$ $4,26 \pm 0,02$
$\langle n_p \rangle, p_p < 0,15$, ГэВ/с	$0,93 \pm 0,09$ $4,44 \pm 0,02$	$0,47 \pm 0,09$ $3,91 \pm 0,02$	$0,33 \pm 0,09$ $3,35 \pm 0,02$	$0,28 \pm 0,12$ $3,13 \pm 0,02$
$\langle n_p \rangle, 0,15 \leq p_p < 0,3$, ГэВ/с	$2,73 \pm 0,12$ $0,56 \pm 0,01$	$2,59 \pm 0,10$ $0,66 \pm 0,01$	$2,31 \pm 0,09$ $0,74 \pm 0,01$	$2,11 \pm 0,08$ $0,67 \pm 0,01$
$\langle n_p \rangle, 0,3 \leq p_p < 0,75$, ГэВ/с	$2,55 \pm 0,11$ $0,65 \pm 0,01$	$2,72 \pm 0,09$ $0,79 \pm 0,01$	$3,03 \pm 0,09$ $0,97 \pm 0,01$	$3,20 \pm 0,08$ $1,07 \pm 0,01$
$\langle n_p \rangle, p_p \geq 0,75$, ГэВ/с	$0,62 \pm 0,05$ $0,85 \pm 0,01$	$0,82 \pm 0,06$ $1,02 \pm 0,01$	$1,88 \pm 0,09$ $1,74 \pm 0,01$	$3,05 \pm 0,12$ $2,83 \pm 0,02$
$\langle v_N \rangle$	$\frac{1}{1}$	$1,61 \pm 0,06$ $1,40 \pm 0,01$	$2,98 \pm 0,08$ $2,40 \pm 0,02$	$6,12 \pm 0,14$ $4,32 \pm 0,03$

Как уже отмечалось выше, ядерные фрагменты с пробегом менее 2 мм в пропановой камере не видны и поэтому не регистрируются. Оценить среднее число незарегистрированных протонов можно по среднему недостающему заряду:

$$\langle Q \rangle = Q_{A_p} + Q_{A_T} - (\langle Q \rangle^+ - \langle Q \rangle^-),$$

где Q_{A_T} — заряд ядра-мишени, $\langle Q \rangle^+$ — средний заряд всех вторичных положительных частиц, включая стриппинговые, $\langle Q \rangle^-$ — средний заряд всех отрицательных частиц.

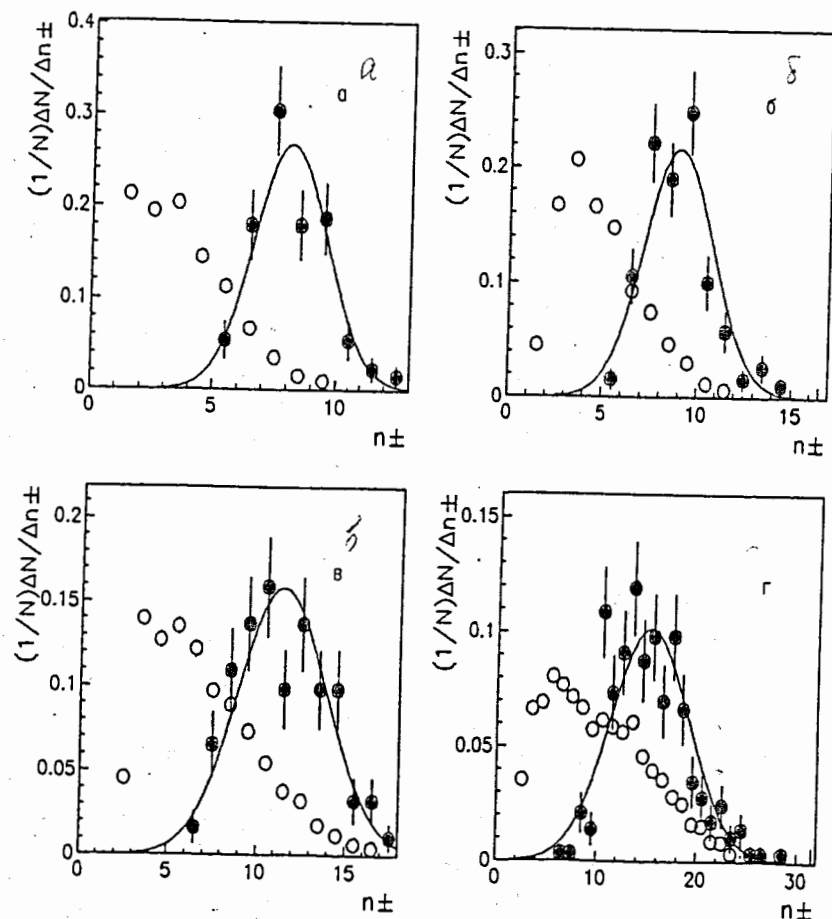


Рис.1. Распределения по множественности всех заряженных частиц в неупругих AC-событиях (○) и в событиях с ПРМ (●); а) — pC-, б) — dC-, в) — α C- и г) — CC-взаимодействия. Кривые — результат аппроксимации распределений (●) кривыми Гаусса

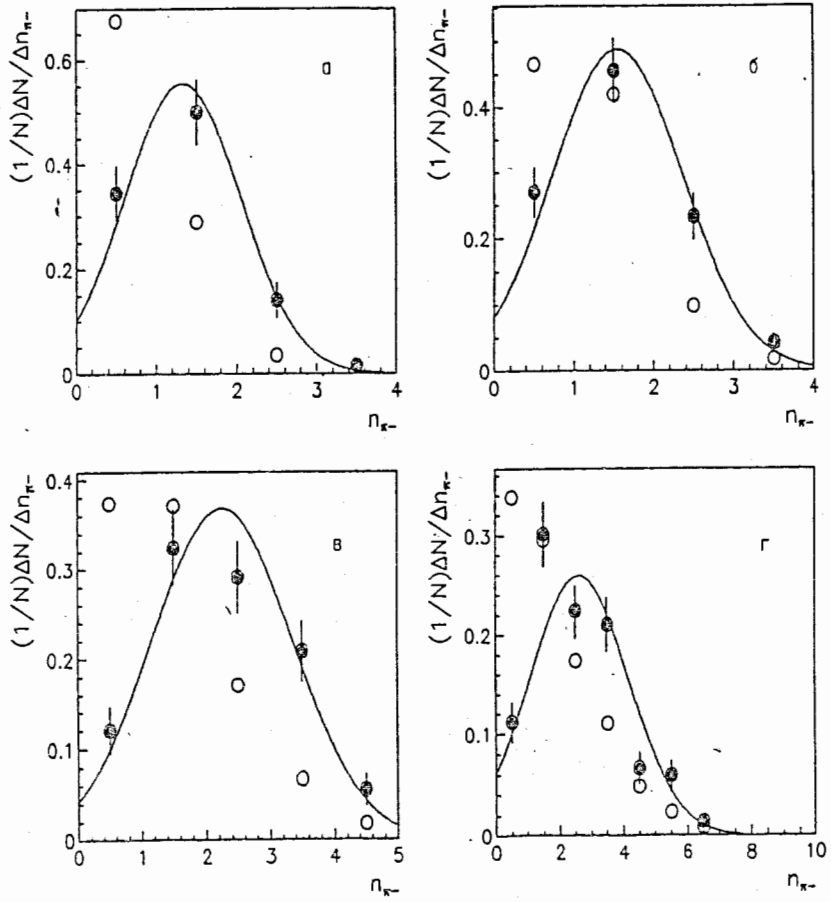


Рис.2. Распределения по множественности π^- -мезонов в различных ансамблях АС-соударений. Обозначения — см. рис.1

В событиях с ПРМ средний недостающий заряд оказался равным 0,93 для pC - и 0,28 для СС-взаимодействий (см. табл.2), т.е. фактически, в рассматриваемом классе соударений незарегистрированной оказалась лишь небольшая доля протонов. Иная ситуация наблюдается для неупругих АС-взаимодействий, где величина $\langle Q \rangle$ изменяется от 4,4 для pC - до 3,1 для СС-соударений (см. табл.2). На наш взгляд этот факт свидетельствует о том, что в «среднем» неупругом ядро-ядерном взаимодействии большая часть ядра-мишени сохраняется в невозбужденном или слабо возбужденном состоянии.

Как видно из данных, приведенных на рис.1+5, распределения по множественности вторичных заряженных частиц из взаимодействий с ПРМ значи-

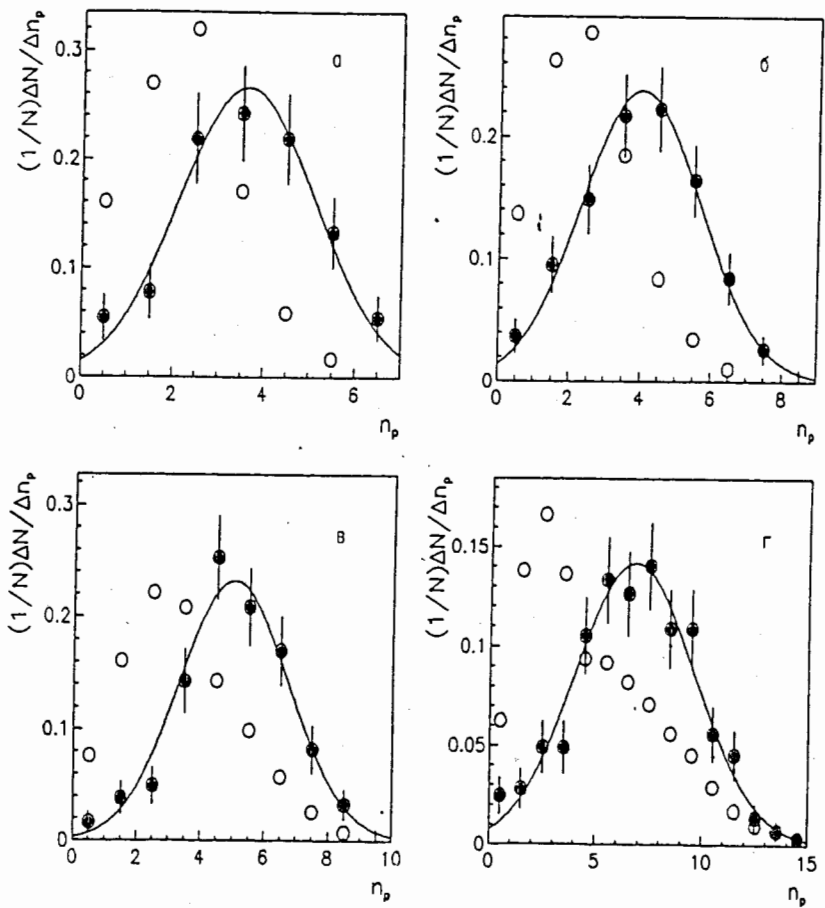


Рис.3. Распределения по множественности протонов-участников из различных ансамблей АС-взаимодействий. Обозначения — см. рис.1

тельно отличаются по форме от аналогичных распределений для неупругих событий. Для взаимодействий с полным разрушением ядра-мишени характерно довольно симметричное, относительно среднего значения множественности, распределение, в то время как для неупругих событий этой симметрии нет. Для наглядности распределения событий с ПРМ аппроксимировались кривыми Гаусса. Отметим, что для большинства взаимодействий с ПРМ число испарительных протонов ($0,15 \leq p_p < 0,3$ ГэВ/с) примерно равно числу быстрых ($0,3 \leq p_p < 0,75$ ГэВ/с) протонов-фрагментов ядра-мишени. Вместе с тем наблюдались события с ПРМ, в которых все фрагменты мишени — либо

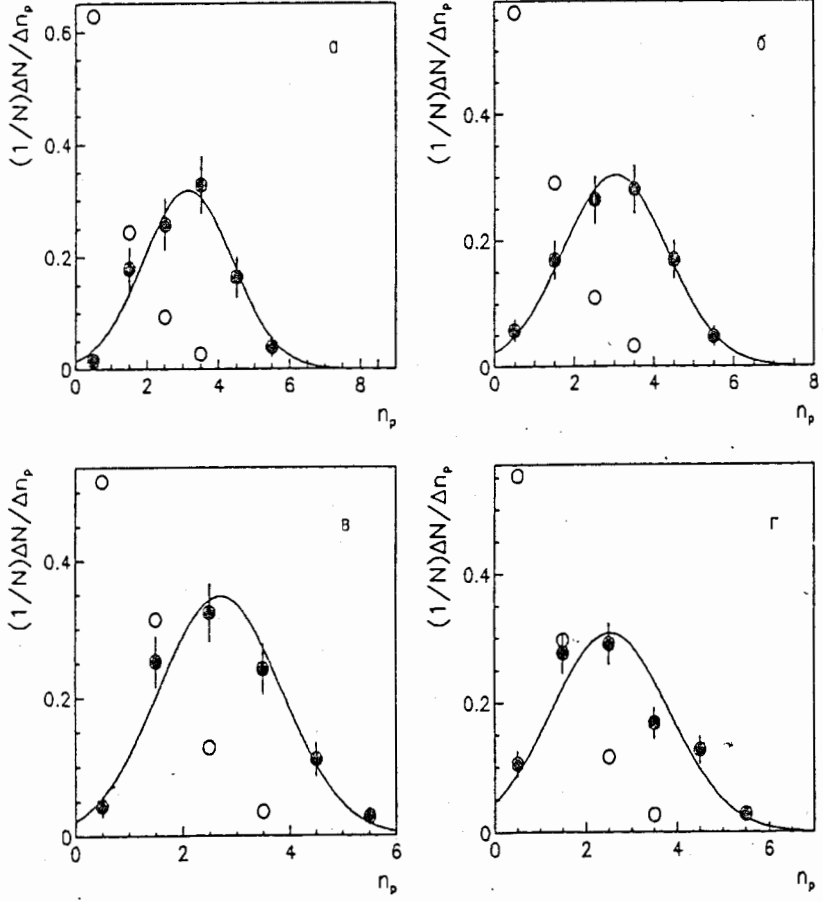


Рис.4. Распределения по множественности протонов с импульсом $0,15 \leq p_p < 0,3$ ГэВ/с.
Обозначения — см. рис.1

испарительные протоны ($3 + 4\%$), либо протоны с $0,3 \leq p_p < 0,75$ ГэВ/с ($2+7\%$), см. рис.4,5. Если принять точку зрения каскадно-испарительной модели [12,17], то это может служить указанием на то, что процесс, приводящий к полному разрушению ядра-мишени в большинстве ядро-ядерных взаимодействий, проходит в две стадии: быструю (каскад) и медленную (испарение). Вместе с тем встречаются, хотя и достаточно редко, взаимодействия, в которых работает только каскадный или только испарительный механизм.

Зависимость множественностей вторичных частиц в событиях с ПРМ от атомного номера ядра-снаряда (A_p -зависимость) представлена в табл.2. Видно,

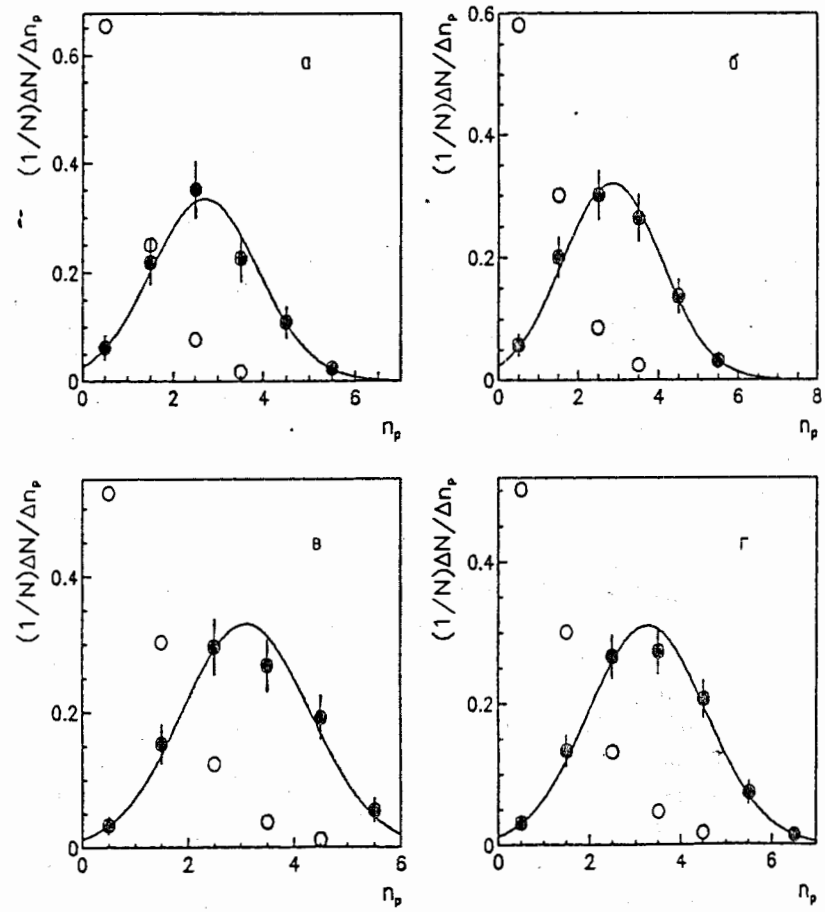


Рис.5. Распределения по множественности протонов с импульсом $0,3 \leq p_p < 0,75$ ГэВ/с.
Обозначения — см. рис.1

что средние множественности всех типов частиц, кроме испарительных протонов, возрастают с ростом A_p . Возможное объяснение этого факта: с увеличением A_p возрастает среднее число нуклонов снаряда, участвующих во взаимодействии с мишенью, что приводит к росту множественности быстрых фрагментов мишени и уменьшению массы остаточного ядра и, следовательно, к падению множественности медленных протонов.

В неупругих ядро-ядерных взаимодействиях с увеличением A_p возрастает как среднее число протонов с импульсом в интервале 0,3+0,75 ГэВ/с, так и, за

счет большой массы остаточного ядра, среднее число испарительных протонов.

Что же касается зависимости средних множественностей π^- -мезонов, а также протонов-участников от массового числа ядра-снаряда, то при переходе от dC -к CC -соударениям она аналогична таковой для неупругих ядро-ядерных взаимодействий (см. табл.2).

Наиболее сильная A_p -зависимость, близкая к $A_p^{2/3}$, наблюдается для протонов с импульсом выше 0,75 ГэВ/с. В такой же степени растет с увеличением A_p и число протонов снаряда $v_p(\langle v_p \rangle = \langle v_N \rangle / 2)$, участвующих во взаимодействии с ядром-мишенью. Именно они, в основном, и составляют группу быстрых протонов. Вклад в эту группу протонов, выбитых из мишени, невелик и составляет по нашим оценкам около 15% для αC - и CC -взаимодействий. Для pC - и dC -соударений средняя множественность протонов с импульсом $p \leq 0,75$ ГэВ/с с учетом невидимых протонов с импульсом $p \leq 0,15$ ГэВ/с в пределах ошибок равна 6.

4. ИМПУЛЬСНЫЕ И УГЛОВЫЕ ХАРАКТЕРИСТИКИ ВТОРИЧНЫХ ЧАСТИЦ

Сравнение импульсных и угловых распределений вторичных частиц из неупругих ядро-ядерных соударений и взаимодействий с полным разрушением мишени показывает, что спектры π^- -мезонов в pC - и dC -событиях с ПРМ несколько мягче, чем в соответствующих неупругих (табл.3). Для αC - и CC -соударений эти спектры практически идентичны в обоих типах взаимодействий (рис.6). Средние поперечные импульсы π^- -мезонов не зависят ни от атомного номера снаряда, ни от степени дезинтеграции ядра-мишени и равны $0,25 \pm 0,01$ ГэВ/с.

Импульсные и угловые распределения быстрых фрагментов мишени обнаруживают слабую, на уровне $\leq 5\%$, A_p - зависимость в сторону увеличения среднего импульса и такого же уменьшения среднего угла вылета при переходе от pC - к CC -соударениям (табл.3). В целом импульсные и угловые характеристики протонов с импульсом $0,15 \leq p_p < 0,75$ ГэВ/с из событий с ПРМ близки к соответствующим характеристикам протонов из неупругих взаимодействий (рис.7,8).

Отметим, что угловые распределения испарительных протонов анизотропны в лаб.системе, как для событий с ПРМ, так и для неупругих взаимодействий (рис.9); коэффициенты анизотропии

$$\alpha = (F - B) / (F + B),$$

где F и B — число протонов, вылетающих в переднюю и заднюю полусферы соответственно составляют для случаев с ПРМ $0,25 \pm 0,05$, а для неупругих событий — $0,23 \pm 0,02$, т.е. практически совпадают. Этот факт свидетельствует о том, что испускание медленных ($0,15 \leq p_p < 0,3$ ГэВ/с) протонов происходит из системы, которая имеет импульс в л.с.к. в направлении движения налетающего ядра после завершения быстрой (каскадной) стадии взаимодействия сталкивающихся ядер.

Таблица 3. Средние импульсные и угловые характеристики АС-событий с ПРМ (числитель) и всех неупругих (знаменатель)

Характеристика	Взаимодействия			
	pC	dC	αC	CC
$\langle p_{\pi} \rangle$, ГэВ/с	$0,43 \pm 0,03$ $0,50 \pm 0,01$	$0,49 \pm 0,03$ $0,55 \pm 0,01$	$0,59 \pm 0,03$ $0,59 \pm 0,01$	$0,61 \pm 0,02$ $0,60 \pm 0,00$
$\langle \theta_{\pi} \rangle$, град	$53,7 \pm 3,7$ $49,2 \pm 0,7$	$44,3 \pm 2,3$ $44,6 \pm 0,5$	$45,4 \pm 2,1$ $43,2 \pm 0,5$	$41,9 \pm 1,4$ $39,8 \pm 0,3$
$\langle p_p^u \rangle$, ГэВ/с	$0,66 \pm 0,03$ $1,26 \pm 0,01$	$0,77 \pm 0,03$ $1,31 \pm 0,01$	$1,09 \pm 0,04$ $1,56 \pm 0,01$	$1,43 \pm 0,03$ $1,88 \pm 0,01$
$\langle p_{\perp p}^u \rangle$, ГэВ/с	$0,40 \pm 0,01$ $0,44 \pm 0,00$	$0,38 \pm 0,01$ $0,45 \pm 0,00$	$0,43 \pm 0,01$ $0,49 \pm 0,00$	$0,44 \pm 0,01$ $0,49 \pm 0,00$
$\langle \theta_p^u \rangle$, град	$55,8 \pm 1,6$ $37,7 \pm 0,3$	$54,9 \pm 1,3$ $38,3 \pm 0,3$	$45,7 \pm 1,0$ $34,5 \pm 0,2$	$38,8 \pm 0,7$ $28,6 \pm 0,1$
$\langle p_p \rangle$, $0,3 \leq p_p < 0,75$, ГэВ/с	$0,45 \pm 0,01$ $0,47 \pm 0,00$	$0,45 \pm 0,01$ $0,47 \pm 0,00$	$0,46 \pm 0,01$ $0,47 \pm 0,00$	$0,47 \pm 0,01$ $0,48 \pm 0,00$
$\langle \theta_p \rangle$, $0,3 \leq p_p < 0,75$, ГэВ/с	$61,7 \pm 1,7$ $58,1 \pm 0,5$	$64,2 \pm 1,5$ $59,0 \pm 0,4$	$60,6 \pm 1,3$ $58,2 \pm 0,4$	$58,7 \pm 1,0$ $55,9 \pm 0,3$
$\langle p_p \rangle$, $p_p \geq 0,75$, ГэВ/с	$1,53 \pm 0,08$ $1,86 \pm 0,01$	$1,84 \pm 0,07$ $1,97 \pm 0,01$	$2,12 \pm 0,06$ $2,17 \pm 0,01$	$2,43 \pm 0,05$ $2,41 \pm 0,01$
$\langle p_{\perp p} \rangle$, $p_p \geq 0,75$, ГэВ/с	$0,67 \pm 0,04$ $0,52 \pm 0,00$	$0,57 \pm 0,02$ $0,54 \pm 0,00$	$0,57 \pm 0,02$ $0,57 \pm 0,00$	$0,55 \pm 0,01$ $0,55 \pm 0,00$
$\langle \theta_p \rangle$, $p_p \geq 0,75$, град	$31,5 \pm 2,1$ $22,1 \pm 0,2$	$24,4 \pm 1,4$ $22,2 \pm 0,2$	$21,7 \pm 0,9$ $21,4 \pm 0,2$	$18,0 \pm 0,5$ $18,2 \pm 0,1$

Импульсные и угловые распределения протонов с $p_p > 0,75$ ГэВ/с (в основном это фрагменты ядра-снаряда) заметно зависят от A_p как для событий с ПРМ, так и для всех неупругих. С ростом A_p спектр протонов становится жестче ($\langle p_p \rangle$ — растет), а угловое распределение становится уже ($\langle \theta \rangle$ — уменьшается) (см. табл.3). Обращают на себя внимание существенно меньшие

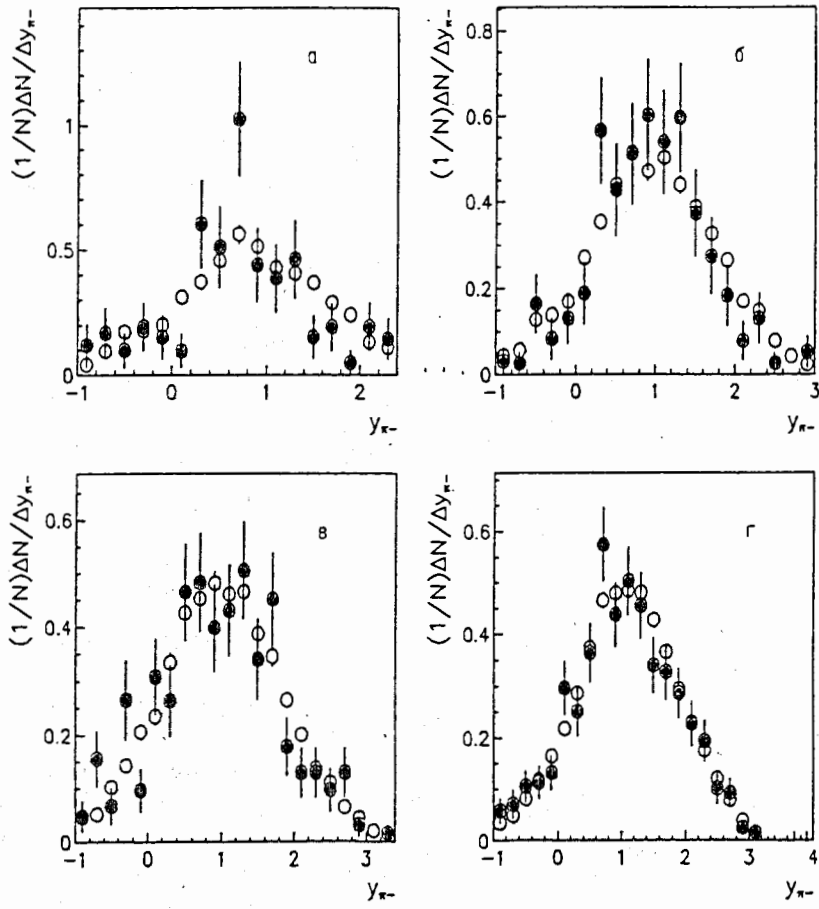


Рис.6. Распределения π^+ -мезонов по быстроте в неупругих АС-событиях (○) и в событиях с ПРМ (●); а) — $p\text{C}$ -, б) — $d\text{C}$ -, в) — αC - и г) — СС-взаимодействия

средние импульсы и быстроты и большие $\langle p_{\perp} \rangle$ и $\langle \theta \rangle$ для протонов с $p_p > 0,75$ ГэВ/с в $p\text{C}$ -столкновениях с ПРМ, по сравнению с таковыми в неупругих соударениях; в αC - и СС-взаимодействиях такого эффекта не наблюдается (табл.3). Данные, приведенные на рис.10, наглядно демонстрируют изменение характера быстротных распределений протонов с $p_p > 0,75$ ГэВ/с с увеличением атомного номера и, следовательно, числа взаимодействующих нуклонов из ядра-снаряда (см. табл.2). Итак, показано, что импульсные и угловые характеристики протонов с импульсами в интервале $0,3 \leq p_p < 0,75$ ГэВ/с

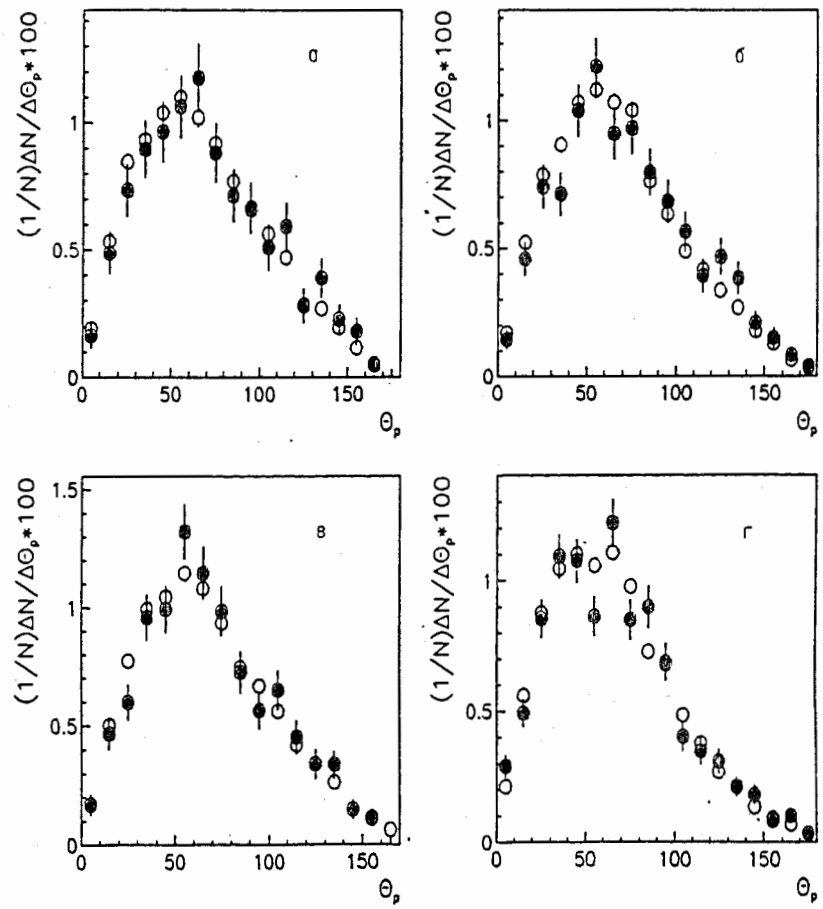


Рис.7. Угловые распределения протонов с импульсом $0,15 \leq p_p < 0,75$ ГэВ/с. Обозначения — см. рис.6

и $p_p > 0,75$ ГэВ/с для $d\text{C}$ -, αC - и СС-событий с ПРМ совпадают или близки к характеристикам тех же групп протонов из соответствующих неупругих АС-взаимодействий. Следовательно, только различное соотношение между числом протонов от фрагментации мишени и снаряда среди протонов-участников приводит к существенному отличию их распределений по кинематическим переменным в сравниваемых типах событий (ПРМ и неупругие) (рис.11, 12).

В угловых распределениях протонов-участников из $p\text{C}$ -, $d\text{C}$ - и αC -столкновений с ПРМ видны особенности в области $\theta \approx 50^\circ + 60^\circ$ (наиболее выраже-

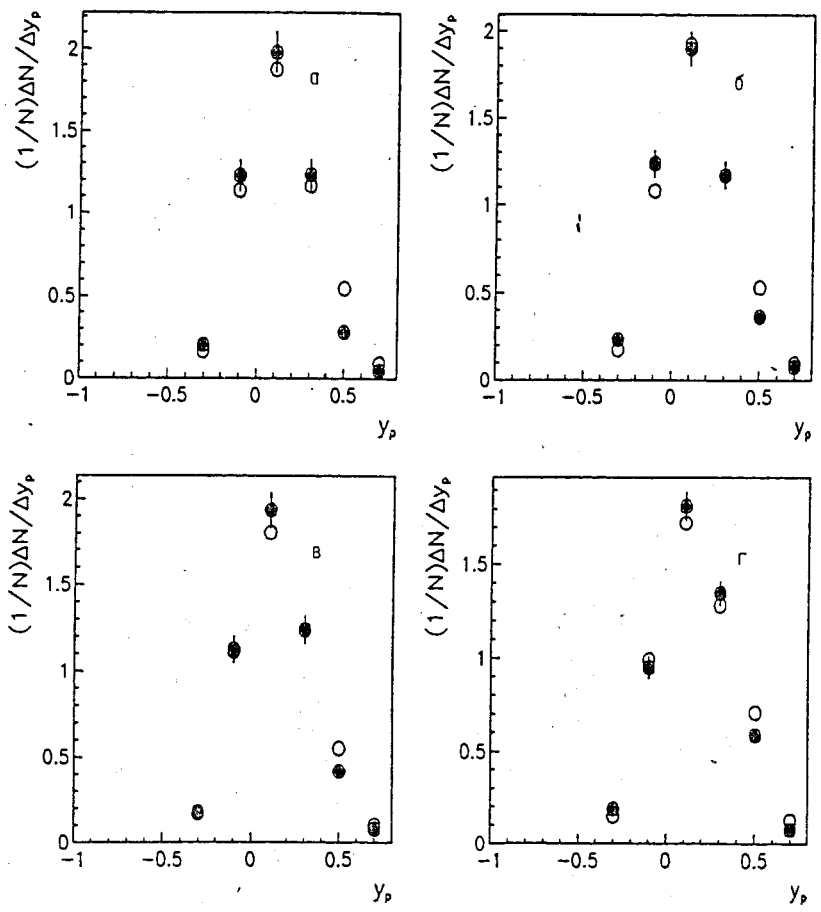


Рис.8. Быстротные распределения протонов с $0,15 \leq p_p < 0,75$ ГэВ/с. Обозначения — см. рис.6

ны они для pC) (рис.12), которые указывают на возможное образование ударных волн в этих взаимодействиях. В π^-C -взаимодействиях такие особенности наблюдались при 5 [10] и 40 [9] ГэВ/с.

Интересное явление обнаружено нами при сравнении спектров π^+ - и π^- -мезонов из ядро-ядерных соударений с ПРМ. В интервале импульсов от 0,1 до 0,3 ГэВ/с число π^- -мезонов превышает число π^+ -мезонов на 27% в dC - и CC -столкновениях и на 49% в αC , чего не наблюдается в неупругих событиях. Действительно, во взаимодействиях симметричных ядер распределения π^+ - и

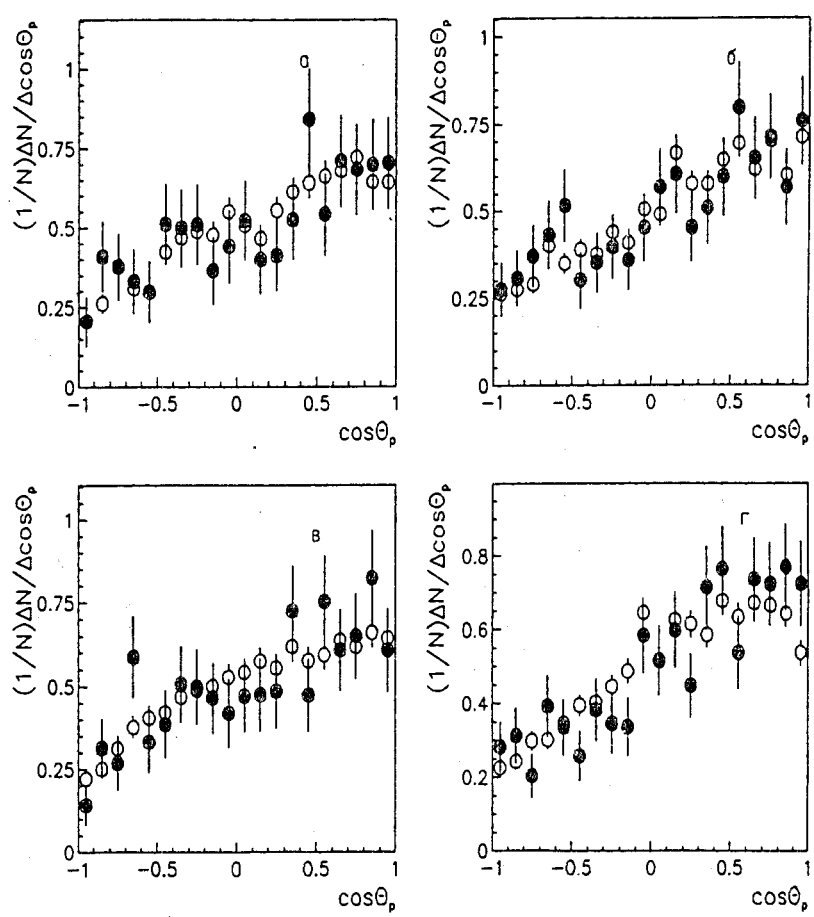


Рис.9. Угловые распределения протонов с импульсом $0,15 \leq p_p < 0,3$ ГэВ/с. Обозначения — см. рис.6

π^- -мезонов должны совпадать по всем переменным. Можно предположить, что недостающие малоэнергичные π^+ -мезоны провзаимодействовали в ядре углерода с квазидейтронной парой ($\pi^+ + (np) \rightarrow p + p$), тем самым увеличив число протонов в конечном состоянии. Поскольку критерием отбора событий с ПРМ служило наличие 5 и более протонов с $p_p < 0,75$ ГэВ/с, то события с поглощением π^+ -мезонов пополнили группу взаимодействий с ПРМ. Реакция $\pi^- + (np) \rightarrow nn$ приводит к уменьшению числа протонов в событии и, следова-

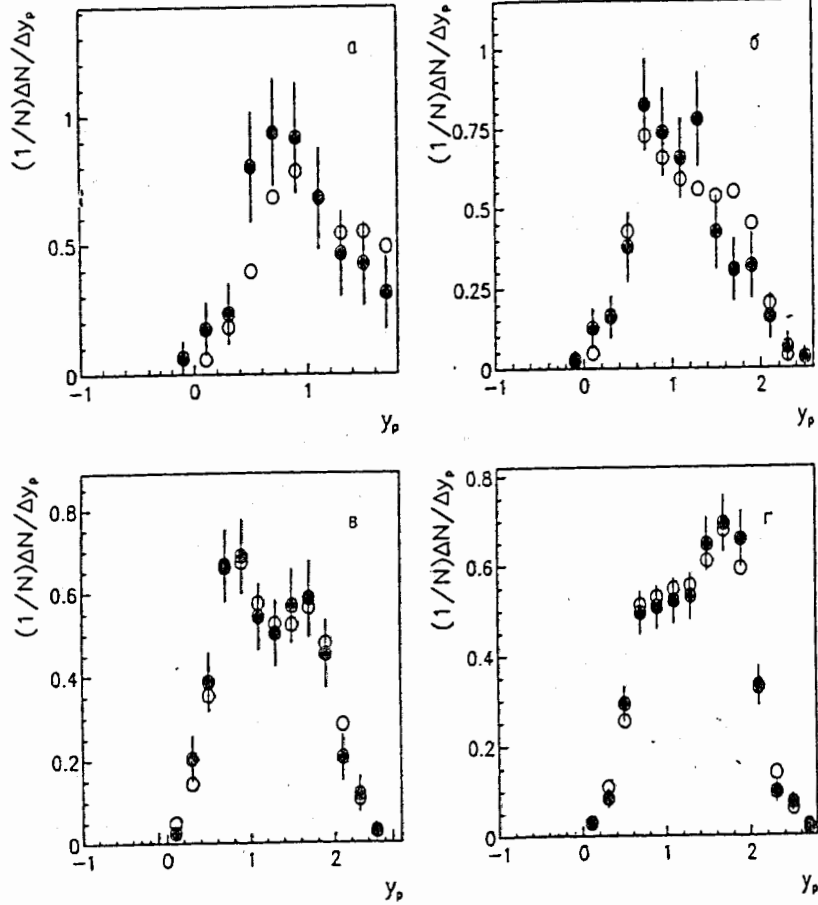


Рис.10. Быстротные распределения протонов с $p_p > 0,75$ ГэВ/с. Обозначения — см. рис.6

тельно, этот канал не может служить источником пополнения ансамбля событий с ПРМ.

Проведенный анализ по энерговыделению в событиях с полным разрушением ядра углерода под действием легких ядер показал, что налетающее ядро при взаимодействии теряет, в среднем, на 20% больше энергии, чем в соответствующих неупругих соударениях. Эта энергия, в основном, идет на увеличение множественности вторичных частиц, а не на увеличение их импульсов. Аналогичный вывод можно сделать по результатам работ, посвященных анализу событий с полным разрушением ядер Ag и Br [2,6].

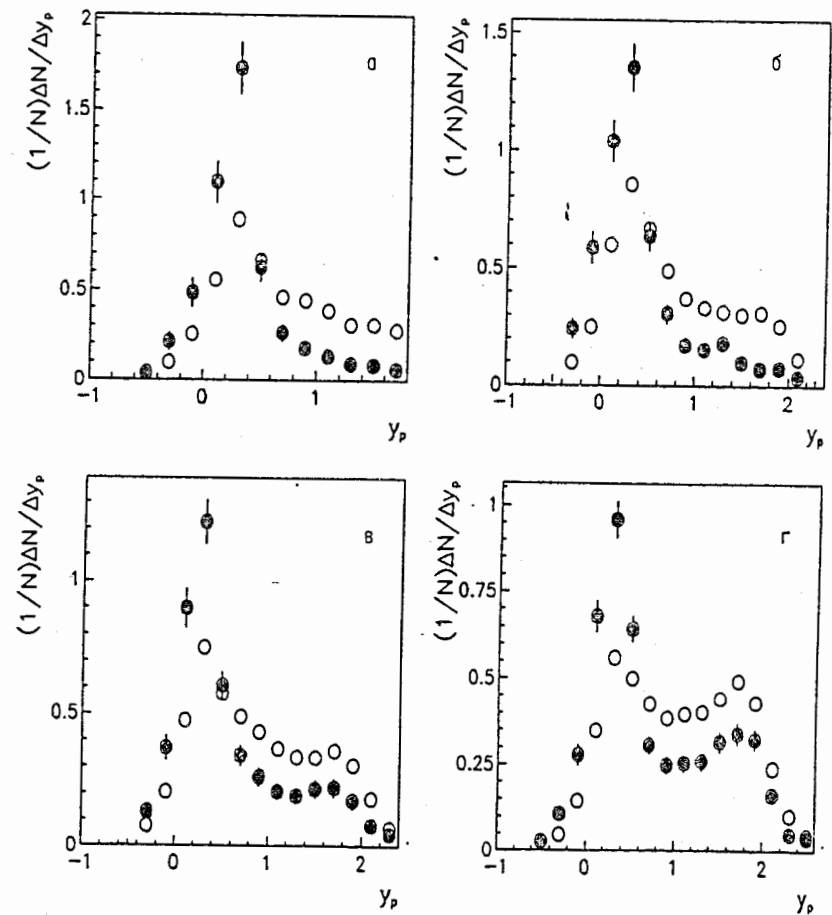


Рис.11. Быстротные распределения протонов-участников. Обозначения — см. рис.6

5. СРАВНЕНИЕ ХАРАКТЕРИСТИК СОБЫТИЙ С ПОЛНЫМ РАЗРУШЕНИЕМ ЛЕГКОГО И ТЯЖЕЛОГО ЯДЕР-МИШЕНЕЙ

Для сравнения результатов, полученных при анализе событий с полным разрушением ядра углерода под действием легких ядер-снарядов: p , d , α и ^{12}C , с имеющимися в литературе данными для взаимодействий с ПР тяжелой компоненты эмульсии — ядер Ag и Br при соударениях с теми же ядрами-снарядами, были отобраны неупругие ядро-ядерные взаимодействия, содержащие 4 и более протонов с импульсом $p_p \leq 0,95$ ГэВ/с, что соответствует критериям

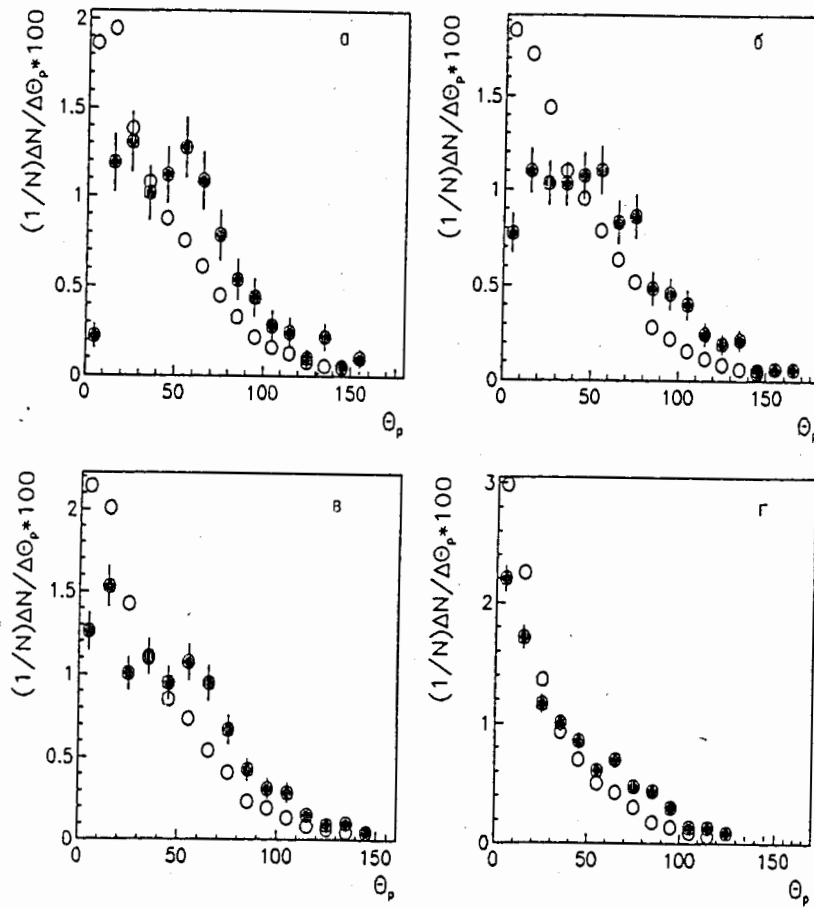


Рис.12. Угловые распределения протонов-участников. Обозначения — см. рис.6

отбора событий с ПР тяжелого ядра-мишени в фотоэмulsionии [1—8]*. Кроме того, в изучаемых событиях, в соответствии с фотоэмulsionционной методикой, все вторичные частицы были разделены на:

1. s -частицы, к которым мы отнесли протоны с $p_p > 0,95 \text{ ГэВ/с}$ ($T > 400 \text{ МэВ}$) и пионы с $p > 150 \text{ МэВ/с}$ ($T > 60 \text{ МэВ}$);
2. g -частицы — протоны с импульсом в интервале $0,24 < p_p \leq 0,95 \text{ ГэВ/с}$ ($30 < T \leq 400 \text{ МэВ}$) и пионы с $60 < p \leq 150 \text{ МэВ/с}$;

*При критериях, используемых для отбора событий с ПР ядер Ag и Br в фотоэмulsionии, среди фрагментов мишени наблюдаются не только однозарядные, но и фрагменты с $z \geq 2$.

Таблица 4. Вероятности полного разрушения легкой (наши данные) и тяжелой ([1—8]) мишеней

	Взаимодействия			
	pC	dC	αC	CC
$N_{\text{соб}}^{\text{ПРМ}}, n_p \geq 4$	425	718	729	1346
$0,15 \leq p_p < 0,95 \text{ ГэВ/с}$				
$W, \%$	$8,0 \pm 0,5$	$10,7 \pm 0,4$	$15,0 \pm 0,6$	$18,4 \pm 0,5$
$pAgBr$	$dAgBr$	$\alpha AgBr$	$CAgBr$	
$N_{\text{соб}}^{\text{ПРМ}}, n_h \geq 28$		96	120	114
$0 < p_h < 0,95 \text{ ГэВ/с}$				
$W, \%$	$0,5 \pm 0,2$	$2,6 \pm 0,5$	$6,8 \pm 0,9$	$18,5 \pm 2,3$

3. b -частицы, в число которых включены протоны с импульсом $p_p < 0,24 \text{ ГэВ/с}$.

При сравнении характеристик событий с полным разрушением легкой и тяжелой мишеней при близких энергиях на нуклон снаряда ($3,3+3,7 \text{ ГэВ}$) были обнаружены следующие качественные закономерности:

• С увеличением атомного номера ядра-снаряда в обоих случаях растет доля (W) событий с ПРМ среди всего ансамбля неупругих событий. Однако «скорости» роста этих долей значительно отличаются для легкого и тяжелого ядер при существенном различии абсолютных величин выхода событий с ПРМ под действием протонов, дейтеронов и α -частиц (см. табл.4). При переходе от pC - к CC -взаимодействиям W возрастает с 8% до 18%, тогда как для $AAgBr$ -взаимодействий она изменяется от 0,5% до 18,5% [6]. Вполне понятно, что вероятность полного разрушения легкого ядра-мишени при взаимодействии с легкими ядрами-снарядами (такими как p , d , α) выше, чем в случае тяжелого ядра-мишени. Интересный результат состоит в том, что ядро углерода с импульсом $4,5 \text{ АГэВ/с}$ с одинаковой вероятностью разрушает и легкое, и тяжелое ядро.

• С увеличением A_p снаряда и в AC - и в $AAgBr$ -соударениях, с ПРМ возрастают средние множественности s - и g -частиц, а $\langle n_b \rangle$ уменьшаются. Однако возрастание $\langle n_s \rangle$ для $AAgBr$ -событий, идет значительно быстрее ($\sim A$) [6], чем для AC -соударений ($\sim A^{1/2}$). Рост $\langle n_g \rangle$ и уменьшение $\langle n_b \rangle$ при переходе от dC - к CC -взаимодействиям происходит примерно также, как при переходе от $dAgBr$ - к $CAgBr$ -столкновениям.

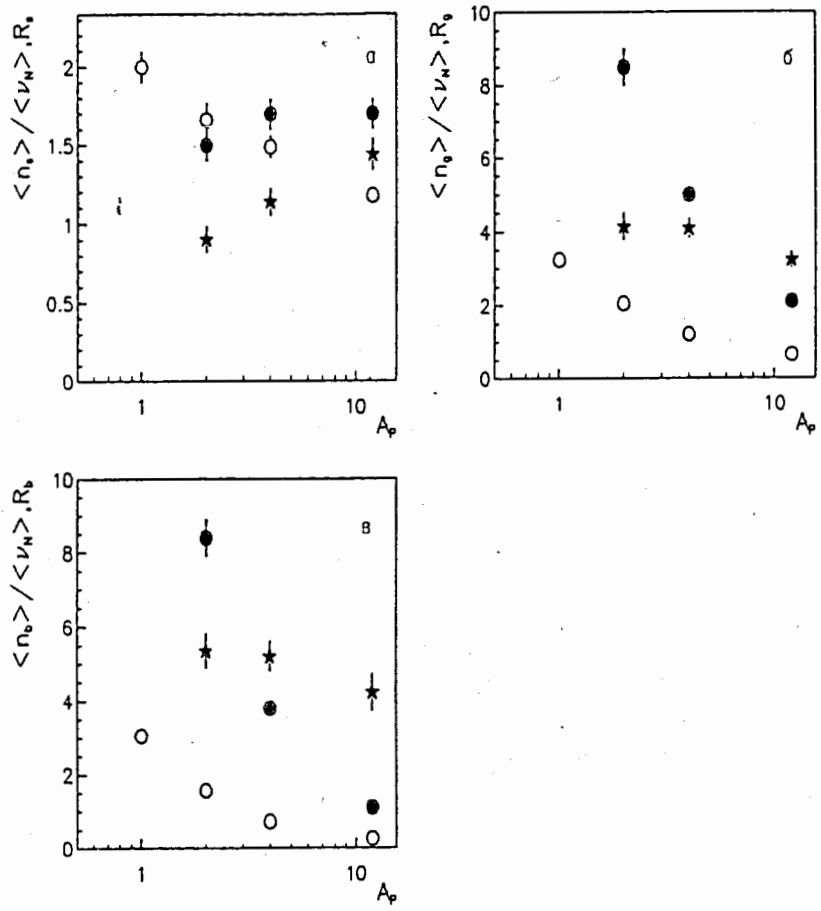


Рис.13. A_p -зависимости удельных множественностей s — а), g — б) и b -частиц — в) для AAgBr (●) и AC (○) взаимодействий с ПРМ и их отношения (*)

• Для AC- и AAgBr-событий с полным разрушением ядра-мишени наблюдаются близкие A_p -зависимости удельных множественностей g - и b -частиц ($\langle n_g \rangle / \langle v_N \rangle$, $\langle n_b \rangle / \langle v_N \rangle$) при существенном различии A_p - зависимостей для отношения $\langle n_s \rangle / \langle v_N \rangle$, что можно увидеть из поведения отношений удельных множественностей

$$R = \frac{\langle n \rangle / \langle v_N \rangle}_{AAgBr} \quad \frac{\langle n \rangle / \langle v_N \rangle}_{AC}$$

(рис.13). Удельные множественности s -частиц в AC-событиях с ПРМ с ростом A_p уменьшаются, а в AAgBr в пределах ошибок от A_p не зависят.

6. ЗАКЛЮЧЕНИЕ

Проведенный анализ AC-событий с полным разрушением ядра-мишени при 4,2 АГэВ/с и сравнение характеристик этих событий с соответствующими характеристиками неупругих взаимодействий легких ядер (p , d , α , C) с ядром углерода позволяют сделать следующие выводы:

- При использованных нами критериях отбора доля событий с ПРМ составляет $\sim 2,4\%$ в pC -согласованиях и возрастает с увеличением атомного номера налетающего ядра, достигая $3,9\%$ в CC-согласованиях.

- События с ПРМ являются в среднем более центральными, в них принимает участие больше нуклонов, налетающие ядра теряют в среднем больше энергии при столкновении с мишенью по сравнению со всеми неупругими взаимодействиями. Эта энергия идет на увеличение множественности пиона и на полное разрушение ядра-мишени, что приводит к увеличению множественности фрагментов мишени.

- Импульсные и угловые распределения π^- -мезонов, протонов-фрагментов ядра-мишени и протонов-участников из ядер-снарядов для событий с ПРМ (за исключением pC) в пределах ошибок совпадают с соответствующими распределениями для неупругих AC-взаимодействий.

- Протоны-участники в событиях с ПРМ имеют иной импульсный состав, чем в неупругих AC-взаимодействиях.

- Увеличение множественности вторичных частиц (кроме испарительных) в событиях с ПРМ является следствием того, что нуклоны из ядер-снаряда претерпевают в ядре-мишени несколько взаимодействий (каскад) с образованием вторичных частиц, которые, в свою очередь, тоже вносят вклад в увеличение конечной множественности частиц в событии.

- Ядро-мишень или его остаток после выбивания нуклонов на быстрой стадии взаимодействия получает значительный импульс, переходит в более сильное, чем в неупругих событиях, возбужденное состояние, а снятие возбуждения реализуется через испускание нуклонов (испарение).

- В процессе полного разрушения ядра углерода реализуются, по крайней мере, два механизма ядро-ядерных взаимодействий — каскад и испарение. Причем имеют место события только с каскадной или только с испарительной стадией разрушения мишени.

Авторы благодарны всем участникам международного сотрудничества по обработке фильмовой информации с 2 м пропановой пузырьковой камеры ЛВЭ ОИЯИ за получение экспериментального материала, использованного в настоящем исследовании, лаборантам за просмотр пленок и измерение событий.

ЛИТЕРАТУРА

1. Толстов К.Д., Хошмухамедов Р.А. — Сообщение ОИЯИ Р1-6897, Дубна, 1973.
2. Ахроров У.А. и др. — Препринт ОИЯИ Р1-9963, Дубна, 1976.
3. Антончик В.А. и др. — Сообщение ОИЯИ Р1-12111, Дубна, 1979.
4. Толстов К.Д. — Препринт ОИЯИ Е1-80-552, Дубна, 1980; Zeit. Phys., 1981, vol.A301, p.339.
5. Андреева Н.П. и др. — ЯФ, 1981, т.34, с.790.
6. Богданов В.Г. и др. — ЯФ, 1983, т.38, с.1493.
7. Андреева Н.П. и др. — ЯФ, 1992, т.55, с.1010.
8. Андреева Н.П. и др. — Сообщение ОИЯИ Е1-9259, Дубна, 1992; ЯФ, 1995, т.58, с.1024.
9. Аношин А.И. и др. — Сообщение ОИЯИ Р1-80332, Дубна, 1980; ЯФ, 1981, т.33, с.164.
10. Абдинов О.Б. и др. — Сообщение ОИЯИ 1-80-859, Дубна, 1980.
11. Абдинов О.Б. и др. — Краткие сообщ. ОИЯИ 1(75)96, Дубна, 1996.
12. Тонеев В.Д., Чигринов С.Е. — Сообщение ОИЯИ Р4-7479, Дубна, 1973.
13. Калинкин Б.Н., Шмонин В.Л. — Сообщение ОИЯИ Р2-7871, Дубна, 1974.
14. Мосиенко А.М., Шабельский Ю.М. — ЯФ, 1990, т.52, с.876.
15. Агакишиев Г.Н. и др. — ЯФ, 1984, т.40, с.1209. Zeit. Phys., 1985, vol.C27, p.177.
16. Армутглийски Д. и др. — ЯФ, 1987, т.45, с.1047; Zeit. Phys., 1987, vol.A328, p.455.
17. Musulmanbekov Je. — Proceed. of 11-th Intern. Symp. on High Energy Spin Physics AIP conf. proceed. 1995, 343, p.428.

Бондаренко А.И., Бондаренко Р.А., Кладницкая Е.Н.

Изучение ядро-ядерных взаимодействий с полным разрушением ядра-мишени при импульсе 4,2 ГэВ/с на нуклон

Р1-96-447

В работе исследуется процесс полного разрушения ядра углерода под действием протонов, дейtronов, α -частиц и ядер углерода при импульсе 4,2 ГэВ/с на нуклон. Определены множественности, импульсные и угловые характеристики вторичных частиц и их зависимость от атомного номера ядра-мишени. Проведено сравнение pC -, dC -, αC - и CC-взаимодействий с полным разрушением ядра-мишени (ПРМ) с соответствующими неупругими взаимодействиями. Полученные результаты свидетельствуют о том, что в процессе полного разрушения ядра углерода реализуются по крайней мере два механизма ядро-ядерных взаимодействий: каскад и испарение фрагментов мишени.

Работа выполнена в Лаборатории высоких энергий ОИЯИ.

Препринт Объединенного института ядерных исследований. Дубна, 1996

Перевод авторов

Bondarenko A.I., Bondarenko R.A., Kladnitskaya E.N.

Р1-96-447

Study of Nucleus-Nucleus Interactions with Complete Destruction of the Target Nucleus with Momentum 4.2 GeV/c per Nucleon

Process of the complete destruction of carbon target by protons, deuterons, alphas and carbon nucleus with momentum 4.2 GeV/c per nucleon are investigated. Multiplicities, momentum and angular characteristics of secondary particles and their A -dependence are presented. These data are systematically compared with characteristics of inelastic pC , dC , αC and CC interactions. According to experimental results two mechanisms — cascade and evaporation of target fragments are realised in the process of the complete destruction of carbon nucleus.

The investigation has been performed at the Laboratory of High Energies, JINR.